



# Méthode des éléments finis Formulation intégrale des problèmes aux limites bidimensionnels

Prof. Th. Gmür

EPFL-STI-IGM-LMAF, ME C1 401, téléphone : 32924, messagerie électronique : thomas.gmuer@epfl.ch



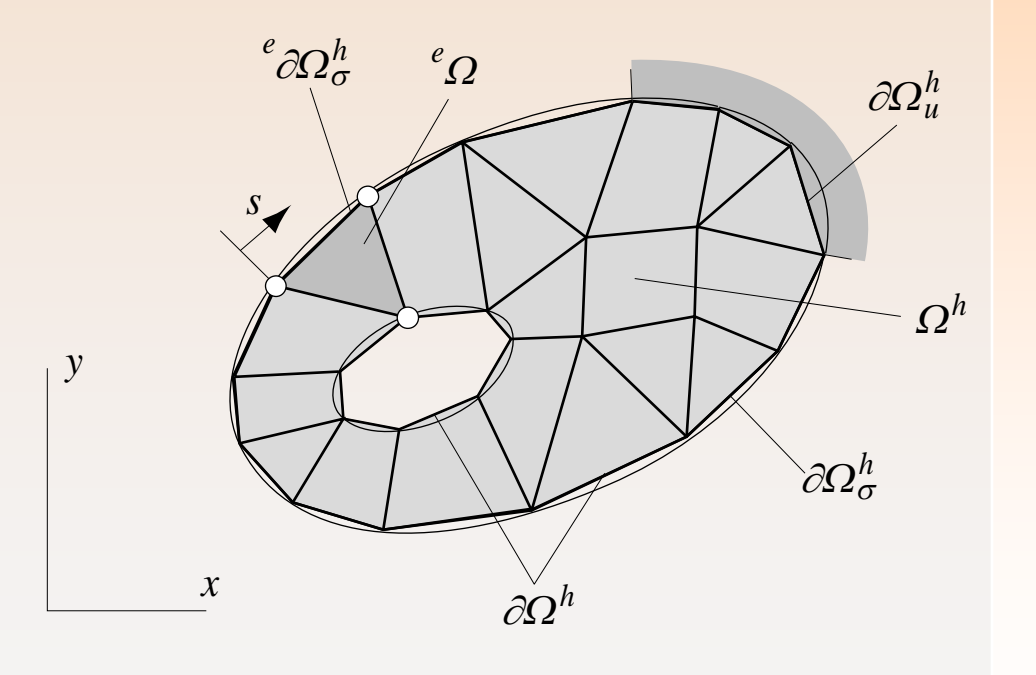
Rappel de la forme faible discrète étudiée

$$\mathbf{K} \mathbf{q} = \mathbf{r} \quad (q_k = \hat{q}_k, \forall k \mid (x_k, y_k) \in \partial \Omega_u^h)$$

$$\mathbf{K} = \mathbf{A}_{e=1}^{m} {}^{e}\mathbf{K}$$

$$\mathbf{r} = \mathbf{A}^{m} e^{\mathbf{r}}$$

$$(\Omega^h = \bigcup_{e=1}^m {}^e\Omega)$$















Rappel des grandeurs structurelles

$${}^{e}\mathbf{K} = \int_{e_{\Omega}} ({}^{e}\kappa {}^{e}\mathbf{B}^{T} {}^{e}\mathbf{B} + {}^{e}\rho {}^{e}\mathbf{H}^{T} {}^{e}\mathbf{H}) \, \mathrm{d}x \, \mathrm{d}y$$

$$+ \int_{e_{\partial\Omega}h} {}^{e}r {}^{e}\mathbf{H}^{T} {}^{e}\mathbf{H} \, \mathrm{d}s \quad \text{matrice \'el\'ementaire}$$

$$+ \int_{e_{\partial\Omega}h} {}^{e}r {}^{e}\mathbf{H}^{T} {}^{e}\mathbf{H} \, \mathrm{d}s \quad \text{de conductivit\'e}$$

$$= \int_{e_{\Omega}} {}^{e}\mathbf{H}^{T} {}^{e}q \, \mathrm{d}x \, \mathrm{d}y + \int_{e_{\partial\Omega}h} {}^{e}\mathbf{H}^{T} {}^{e}t \, \mathrm{d}s$$

vecteur élémentaire des sources d'énergie-chaleur

$${}^{e}\mathbf{H} = [{}^{e}h_{1}, {}^{e}h_{2}, ..., {}^{e}h_{e_{p}}]$$
 matrice des fonctions de base

-106-

$${}^{e}\mathbf{B} = \nabla^{e}\mathbf{H} = [\partial^{e}\mathbf{H}/\partial x, \partial^{e}\mathbf{H}/\partial y]^{T}$$
 matrice-gradient







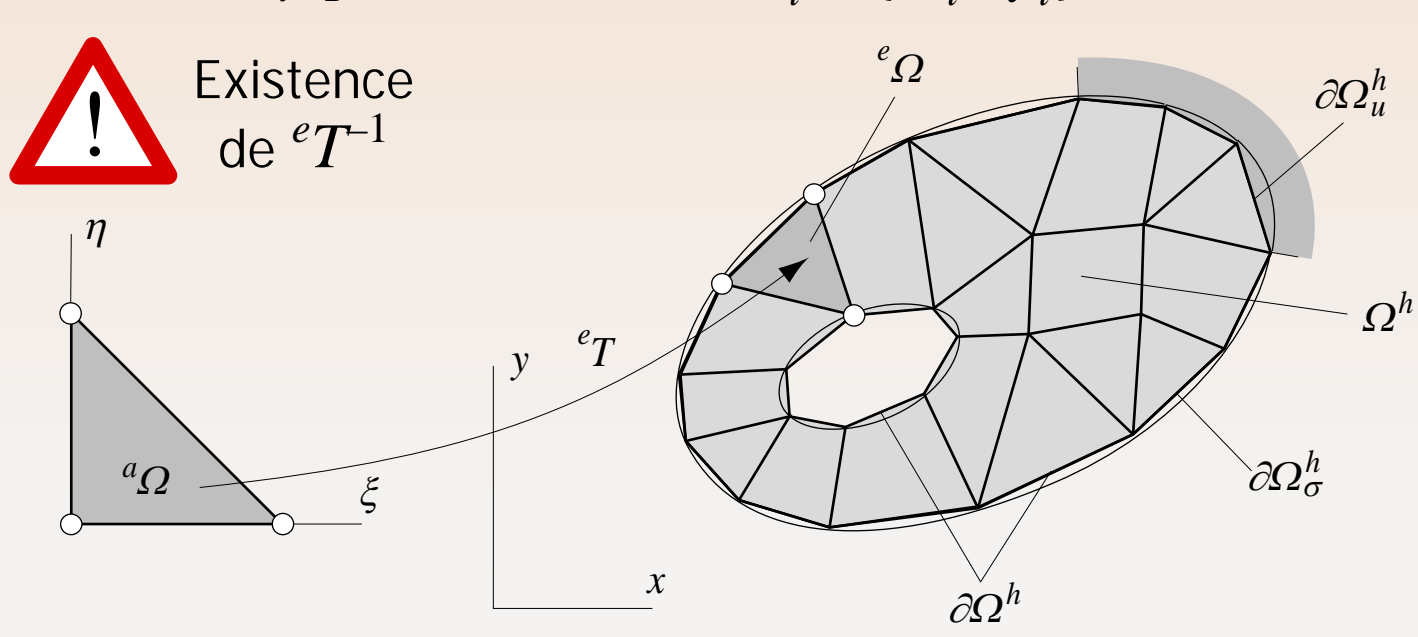






Paramétrisation de la modélisation en éléments finis

$${}^{e}T: \mathbf{x} = \sum_{i=1}^{e_{p}} {}^{a}h_{i}(\xi, \eta) {}^{e}\mathbf{x}_{i} \qquad \mathbf{x} = \{x, y\}^{T}$$
 ${}^{e}\mathbf{x}_{i} = \{e_{x_{i}}, e_{y_{i}}\}^{T}$ 











• Paramétrisation de la modélisation en éléments finis (suite)

$${}^{e}u^{h}(x,y) = \sum_{i=1}^{e} {}^{e}h_{i}(x,y) {}^{e}q_{i} = \sum_{i=1}^{e} {}^{e}h_{i}[x(\xi,\eta),y(\xi,\eta)] {}^{e}q_{i}$$

$$= \sum_{i=1}^{e} {}^{a}h_{i}(\xi,\eta) {}^{e}q_{i} \qquad \text{Matrice } {}^{e}\mathbf{J}^{-1}$$

$$\text{calculée explicitemen}$$

$$\frac{\partial^{e}h_{i}}{\partial x} = \frac{\partial^{a}h_{i}}{\partial \xi} \frac{\partial \xi}{\partial x} + \frac{\partial^{a}h_{i}}{\partial \eta} \frac{\partial \eta}{\partial x} = ({}^{e}\mathbf{J}_{11}^{-1}) \frac{\partial^{a}h_{i}}{\partial \xi} + ({}^{e}\mathbf{J}_{12}^{-1}) \frac{\partial^{a}h_{i}}{\partial \eta}$$

$$\frac{\partial^{e}h_{i}}{\partial y} = \frac{\partial^{a}h_{i}}{\partial \xi} \frac{\partial \xi}{\partial y} + \frac{\partial^{a}h_{i}}{\partial \eta} \frac{\partial \eta}{\partial y} = ({}^{e}\mathbf{J}_{21}^{-1}) \frac{\partial^{a}h_{i}}{\partial \xi} + ({}^{e}\mathbf{J}_{22}^{-1}) \frac{\partial^{a}h_{i}}{\partial \eta}$$







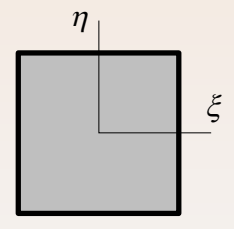




jacobien de la

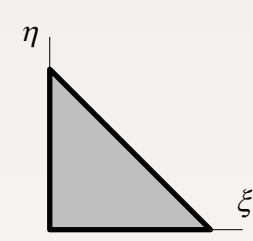
- Insertion de la notion d'élément père ou archétype
  - Traitement des intégrales surfaciques

$$\int_{e_{\Omega}} (\cdot) \, \mathrm{d}x \, \mathrm{d}y = \int_{e_{\Omega}} (\cdot)^{e} \, \mathrm{d}\Omega \qquad \text{transformation }^{e} T \\
= \det(^{e} \mathbf{J}) \\
= \int_{a_{\Omega}} (\cdot)^{e} j^{n} \, \mathrm{d}\Omega = \int_{a_{\Omega}} (\cdot)^{e} j \, \mathrm{d}\xi \, \mathrm{d}\eta$$



$$\int_{a_{Q}} - d\xi d\eta = \int_{-1}^{+1} \int_{-1}^{+1} - d\eta d\xi$$





$$\int_{a_{Q}} \underline{\qquad} d\xi d\eta = \left(\int_{0}^{1} \int_{0}^{1-\xi} \underline{\qquad} d\eta d\xi\right)$$

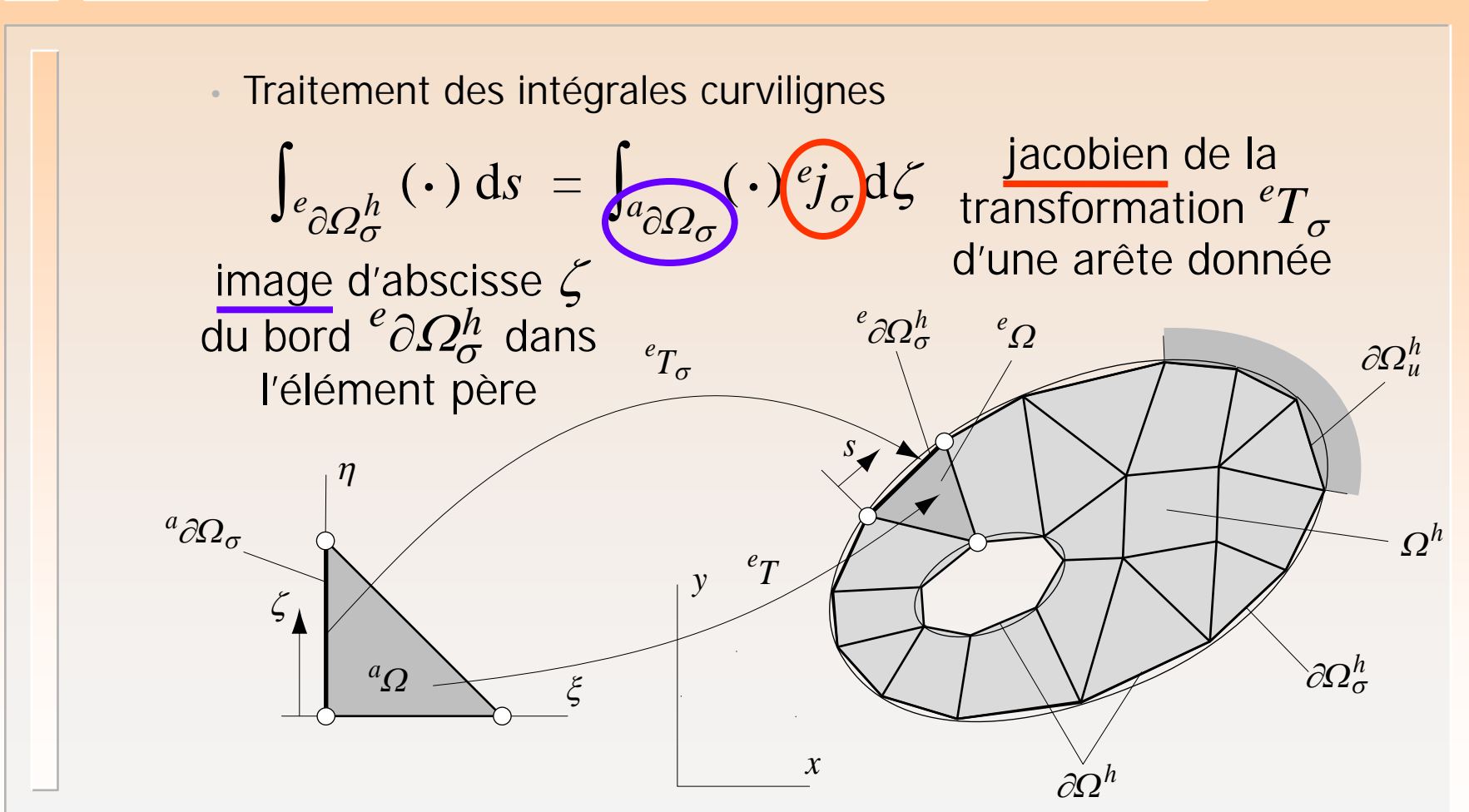






-109-







Traitement des intégrales curvilignes (*suite*) : évaluation du jacobien  $^ej_{\sigma}$ 

according 
$$f_{\sigma}$$

$$\int_{a_{\partial\Omega_{\sigma}}} (\cdot) e^{j}_{\sigma} d\zeta$$

$$= \int_{-1}^{+1} (\cdot) \Big|_{\xi = -1} e^{j}_{\sigma} d\eta$$

$${}^{e}T_{\sigma} \equiv {}^{e}T|_{\xi=-1} : s = s(\eta) \Rightarrow \begin{cases} x = x(-1,\eta) \\ y = y(-1,\eta) \end{cases}$$

$$ds = \sqrt{dx^{2} + dy^{2}}$$

$$= \sqrt{[\partial x(-1,\eta)/\partial n]^{2} + [\partial y(-1,\eta)/\partial n]^{2}} dn$$

$$= \sqrt{\left[\partial x(-1,\eta)/\partial \eta\right]^2 + \left[\partial y(-1,\eta)/\partial \eta\right]^2} \, \mathrm{d}\eta = ej_\sigma \, \mathrm{d}\eta$$





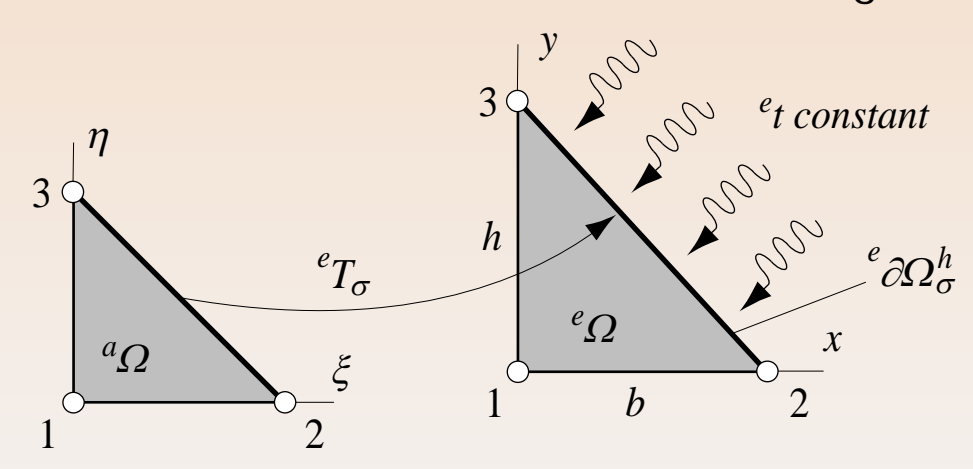








 Traitement des intégrales curvilignes (suite) : exemple de flux externe traversant la frontière d'un élément triangulaire



$${}^{e}T_{\sigma}: \begin{array}{c} x = b \, {}^{a}h_{2} \big|_{\xi=1-\eta} = b \, \xi \big|_{\xi=1-\eta} = b \, (1-\eta) \\ y = h \, {}^{a}h_{3} \big|_{\xi=1-\eta} = h \, \eta \big|_{\xi=1-\eta} = h \, \eta \\ \partial x/\partial \eta = -b \quad \partial y/\partial \eta = h \end{array}$$

-112-













Traitement des intégrales curvilignes (*suite*) : calcul des contributions élémentaires du flux externe donné en exemple

$$ej_{\sigma} = \sqrt{(\partial x/\partial \eta)^2 + (\partial y/\partial \eta)^2} = \sqrt{b^2 + h^2}$$

$$er_i = \int_{e_{\partial\Omega_{\sigma}}^h} eh_i et ds = \int_0^1 ah_i \Big|_{\xi=1-\eta} et ej_{\sigma} d\eta$$

-113-



$$\begin{aligned}
e r_1 &= \int_0^1 (1 - \xi - \eta) \Big|_{\xi = 1 - \eta} e^t \sqrt{b^2 + h^2} \, d\eta = 0 \\
e r_2 &= \int_0^1 \xi \Big|_{\xi = 1 - \eta} e^t \sqrt{b^2 + h^2} \, d\eta = e^t \sqrt{b^2 + h^2} / 2 \\
e r_3 &= \int_0^1 \eta \Big|_{\xi = 1 - \eta} e^t \sqrt{b^2 + h^2} \, d\eta = e^t \sqrt{b^2 + h^2} / 2
\end{aligned}$$



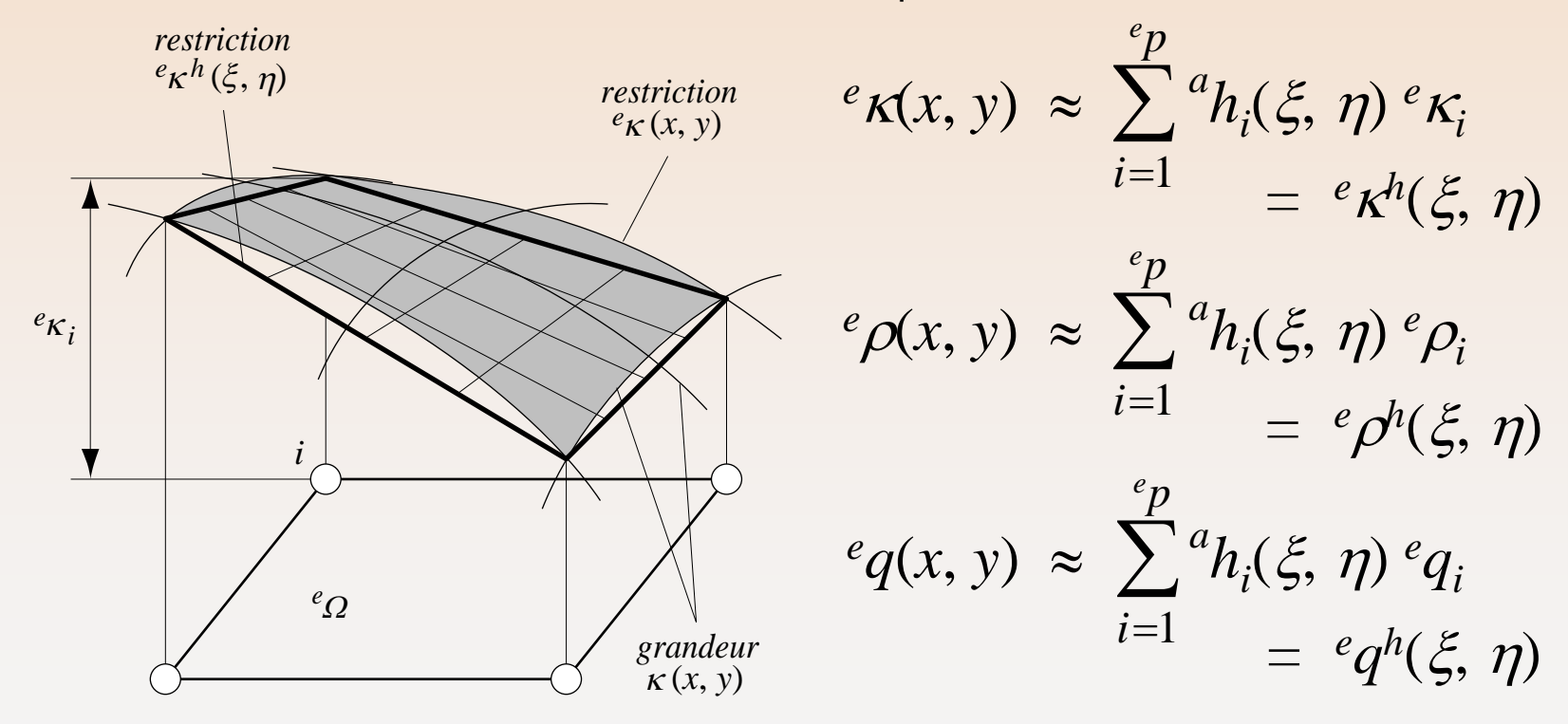








- Paramétrisation des grandeurs physiques
  - Traitement des coefficients surfaciques



-114-

Prof. Th. Gmür Méthode des éléments finis Décembre 2018



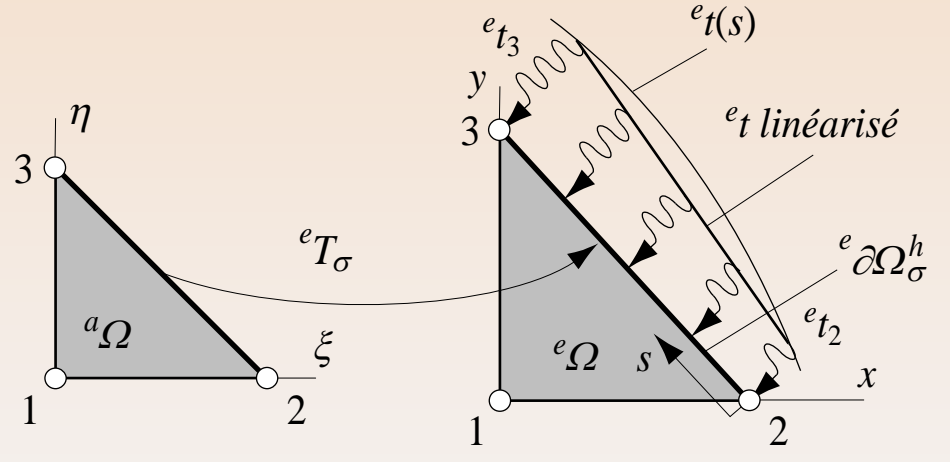








 Cas particulier : paramétrisation le long du site des conditions naturelles de bord (exemple d'un élément triangulaire)





Démarche identique pour la variable  $e^r(s)$ 

$$et(s) \approx \sum_{i=1}^{e_{p_{\sigma}}} {}^{a}h_{i}(\xi, \eta) \Big|_{\xi=1-\eta} {}^{e}t_{i} \quad \text{nowuds sur l'arête}$$

$$= \xi \Big|_{\xi=1-\eta} {}^{e}t_{2} + \eta \Big|_{\xi=1-\eta} {}^{e}t_{3} = {}^{e}t_{2}(1-\eta) + {}^{e}t_{3}\eta$$

-115-





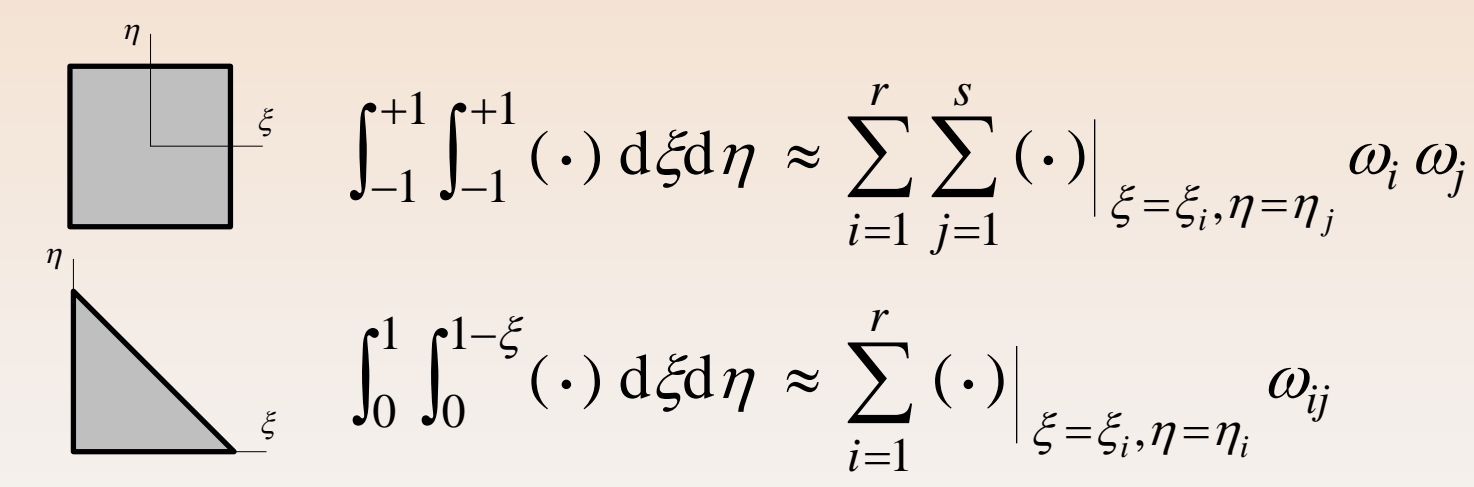








- Intégration numérique
  - Quadrature de Gauss-Legendre





 $\xi_k$ ,  $\eta_k$  coordonnées du point d'intégration k  $\omega_k$  coefficient de pondération du point k

Intégration sur les éléments quadrangulaires non optimale

-116-







Règles unidimensionnelles appliquées aux éléments quadrangulaires

Abscisse ξ	Coefficient de pondération $\omega$	Précision
0.00000 00000 00000	2.00000 00000 00000	ordre 1
± 0.57735 02691 89626	1.00000 00000 00000	ordre 3
0.00000 00000 00000 ± 0.77459 66692 41483	0.88888 88888 88889 0.55555 55555 55556	ordre 5
± 0.33998 10435 84856 ± 0.86113 63115 94053	0.65214 51548 62546 0.34785 48451 37454	ordre 7
0.00000 00000 00000 ± 0.53846 93101 05683 ± 0.90617 98459 38664	0.56888 88888 88889 0.47862 86704 99366 0.23692 68850 56189	ordre 9













Règles bidimensionnelles appliquées aux éléments triangulaires

Abscisse ξ	Abscisse η	Coefficient de pondération ω	Précision
0.33333 33333 33333	0.33333 33333 33333	0.50000 00000 00000	ordre 1
0.20000 00000 00000	0.20000 00000 00000	0.26041 66666 66667	ordre 3
0.60000 00000 00000	0.20000 00000 00000	0.26041 66666 66667	
0.20000 00000 00000	0.60000 00000 00000	0.26041 66666 66667	
0.33333 33333 33333	0.33333 33333 33333	- 0.28125 00000 00000	
0.10128 65073 23456	0.10128 65073 23456	0.06296 95902 72413	ordre 5
0.79742 69853 53087	0.10128 65073 23456	0.06296 95902 72413	
0.10128 65073 23456	0.79742 69853 53087	0.06296 95902 72413	
0.47014 20641 05115	0.05971 58717 89770	0.06619 70763 94253	
0.47014 20641 05115	0.47014 20641 05115	0.06619 70763 94253	
0.05971 58717 89770	0.47014 20641 05115	0.06619 70763 94253	
0.33333 33333 33333	0.33333 33333 33333	0.11250 00000 00000	

-118-



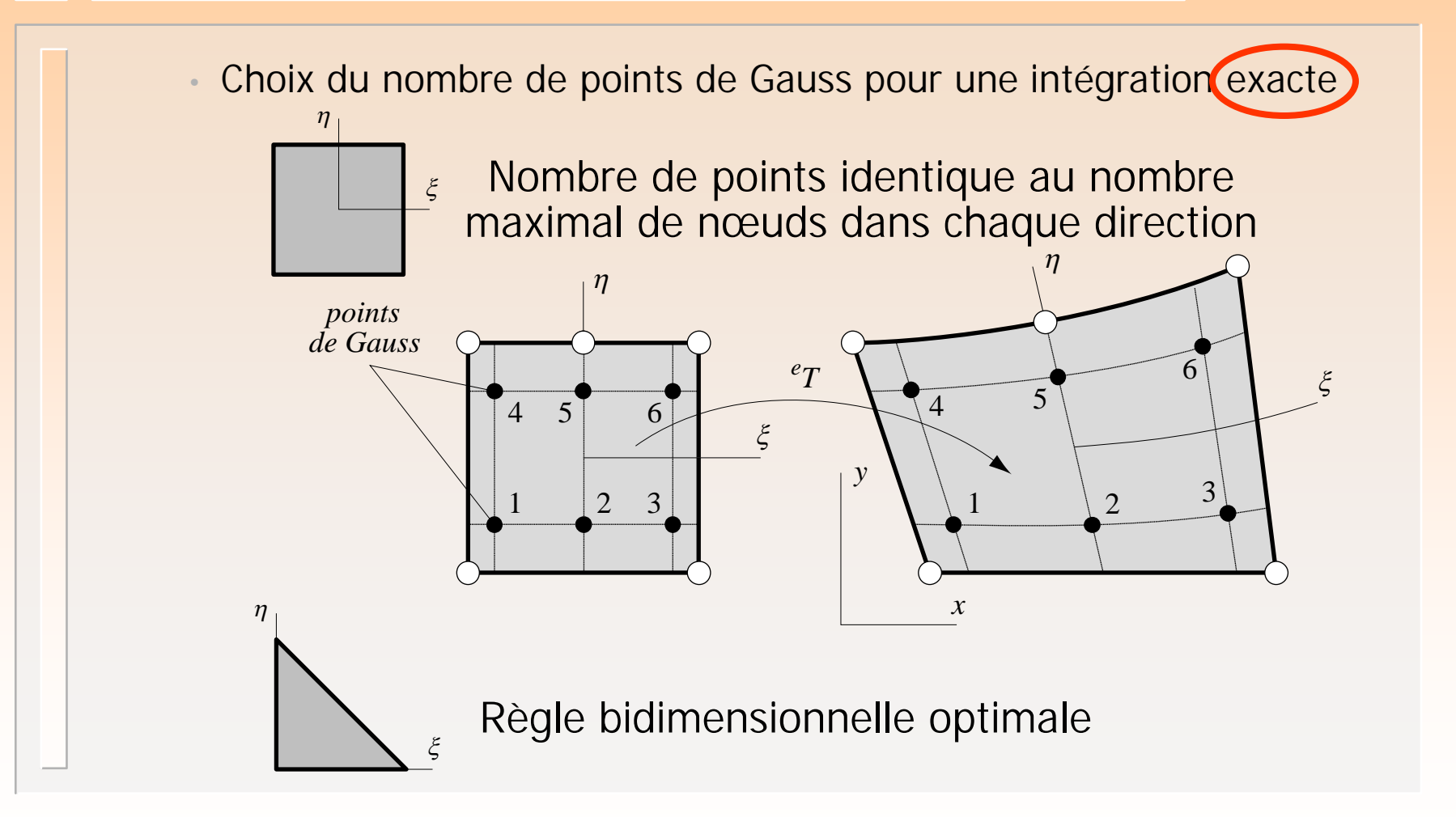












-119-











Comparaison des intégrations exacte et réduite



réduit





-120-







Comparaison des intégrations exacte et réduite

Intégration exacte

⇒ Intégration réduite

+ Stabilité numérique

+ Assouplissement de la rigidité

+ Monotonie de la convergence

Diminution des coûts de calcul

Surestimation de la rigidité Perte de la monotonie de convergence

Risque de blocage des éléments linéaires

Risque d'instabilité numérique

Choix optimal?
Intégration sélective



-121-

Voir cours spécialisés de mécanique numérique

Prof. Th. Gmür Méthode des éléments finis Décembre 2018



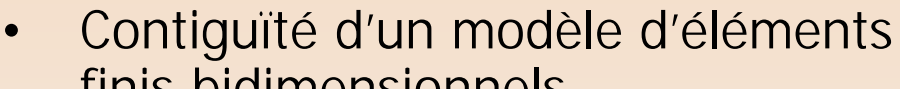


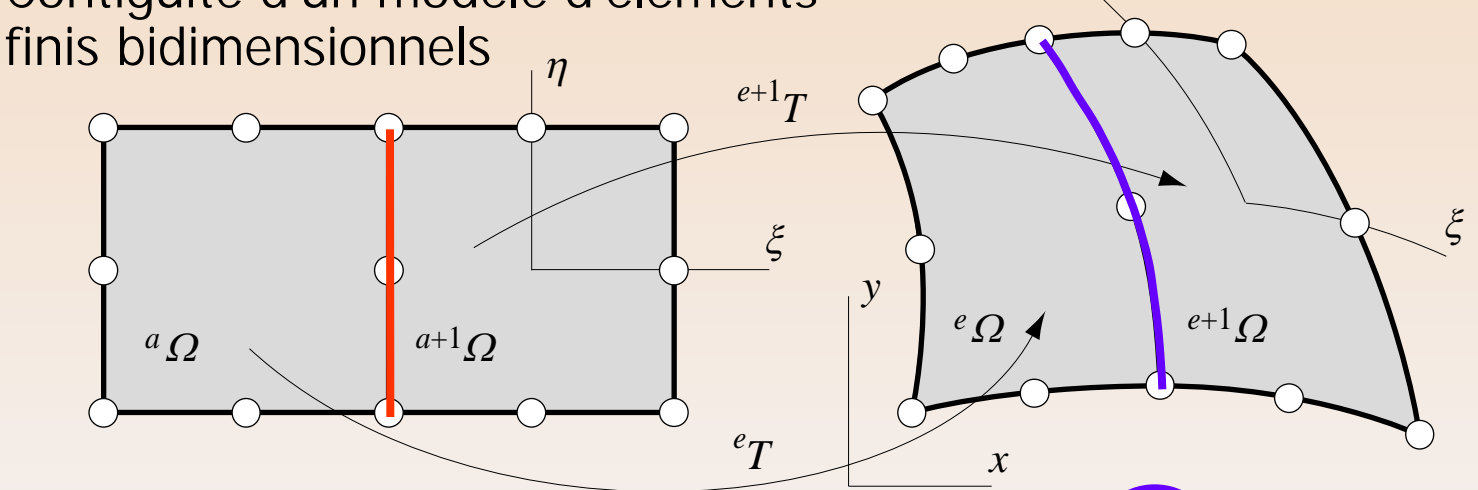






#### **L** mar





$$\begin{array}{ll}
^{e}u^{h}(x, y) &= {}^{a}\mathbf{H}(\xi, \eta) {}^{e}\mathbf{q} \\
^{e+1}u^{h}(x, y) &= {}^{a+1}\mathbf{H}(\xi, \eta) {}^{e+1}\mathbf{q}
\end{array}$$

$${}^{e}T: y = {}^{a}\mathbf{H}(\xi, \eta) {}^{e}\mathbf{y}$$

$$x = {}^{a+1}\mathbf{H}(\xi, \eta) {}^{e+1}$$

Continuité 
$$\square$$
 Contiguïté  $^{e+1}T$ :

$$y = {}^{a+1}\mathbf{H}(\xi, \eta) {}^{e+1}\mathbf{y}$$







-122-





- Critères classiques de convergence
  - Critère de continuité
  - Critère de différentiabilité



Critères non perturbés par le changement de variables





-123-







L mar

- Critères classiques de convergence
  - · Critère de continuité
  - Critère de différentiabilité
  - Critère de complétude



Critères non perturbés par le changement de variables

$$x = {}^{g}\mathbf{H}(\xi, \eta) {}^{e}\mathbf{x} = \sum_{\substack{i=1 \ g \\ p}}^{g} {}^{g}\mathbf{h}_{i}(\xi, \eta) {}^{e}\mathbf{x}_{i}$$

$$y = {}^{g}\mathbf{H}(\xi, \eta) {}^{e}\mathbf{y} = \sum_{\substack{i=1 \ g \\ p}}^{g}\mathbf{h}_{i}(\xi, \eta) {}^{e}\mathbf{y}_{i}$$

Elément 
$$^g\Omega$$
 caractérisant la géométrie

$$e^{uh}(x, y) = \sum_{i=1}^{e_p} {}^{e}h_i(x, y) e^{q}q_i = \sum_{i=1}^{e_p} {}^{a}h_i(\xi, \eta) e^{q}q_i$$

-124-

Elément  ${}^a\Omega$  définissant la solution

Prof. Th. Gmür Méthode des éléments finis Décembre 2018

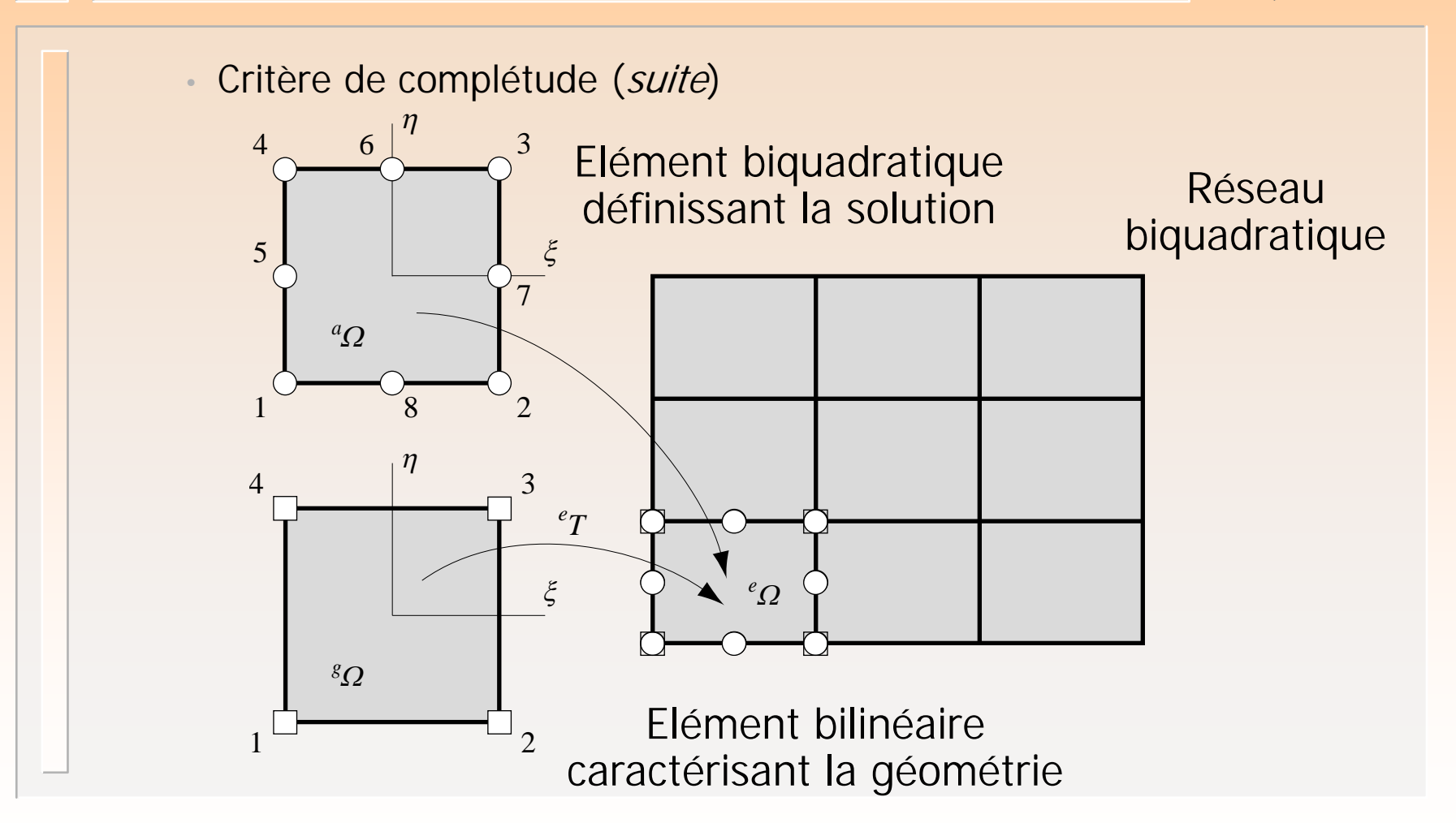






















Critère de complétude (*suite*)

$$eu^{h}(x, y) = \sum_{i=1}^{e_{p}} {}^{a}h_{i}(\xi, \eta) \underbrace{}^{e}q_{i} = \alpha + \beta x + \gamma y$$
Définition de
$$\Rightarrow {}^{e}u^{h}({}^{e}x_{i}, {}^{e}y_{i}) \equiv \underbrace{}^{e}q_{i} = \alpha + \beta {}^{e}x_{i} + \gamma {}^{e}y_{i} \quad \text{la complétion}$$

$$(i = 1, 2, ..., {}^{e}p)$$

$$\Rightarrow^{e} u^{h}(x, y) = \alpha \sum_{i=1}^{e_{p}} {}^{a} h_{i}(\xi, \eta) + \beta \sum_{i=1}^{e_{p}} {}^{a} h_{i}(\xi, \eta) {}^{e} x_{i}$$

$$+ \gamma \sum_{i=1}^{e_{p}} {}^{a} h_{i}(\xi, \eta) {}^{e} y_{i}$$
Identification
$$= \alpha + \beta x + \gamma y$$

Prof. Th. Gmür Méthode des éléments finis Décembre 2018

terme à terme







-126-





L mar

Critère de complétude (suite)

$$e^{uh}(x, y) = \sum_{i=1}^{e_p} {}^{a}h_i(\xi, \eta) (e^{i}q_i) = \alpha + \beta x + \gamma y$$
Définition de
$$\Rightarrow {}^{e}u^{h}(e^{i}x_i, e^{i}y_i) \equiv (e^{i}q_i) = \alpha + \beta e^{i}x_i + \gamma e^{i}y_i$$
la complétion
$$(i = 1, 2, ..., e^{i}p)$$

$$\Rightarrow^{e} u^{h}(x, y) = \alpha \sum_{i=1}^{e_{p}} {}^{a} h_{i}(\xi, \eta) + \beta \sum_{i=1}^{e_{p}} {}^{a} h_{i}(\xi, \eta) {}^{e} x_{i}$$

$$+ \gamma \sum_{i=1}^{e_{p}} {}^{a} h_{i}(\xi, \eta) {}^{e} y_{i}$$
Identification

-127-

Prof. Th. Gmür Méthode des éléments finis Décembre 2018

terme à terme











L mar

Critère de complétude (suite)

$$e^{uh}(x, y) = \sum_{i=1}^{e_p} {}^{a}h_i(\xi, \eta) (e^{i}q_i) = \alpha + \beta x + \gamma y$$

$$\Rightarrow {}^{e}u^{h}(e^{i}x_i, e^{i}y_i) = (e^{i}q_i) = \alpha + \beta e^{i}x_i + \gamma e^{i}y_i$$

$$(i = 1, 2, ..., e^{i}p)$$

$$\Rightarrow^{e}u^{h}(x,y) = \alpha \sum_{i=1}^{e_{p}} {}^{a}h_{i}(\xi,\eta) + \beta \sum_{i=1}^{e_{p}} {}^{a}h_{i}(\xi,\eta) {}^{e}x_{i}$$

$$+ \gamma \sum_{i=1}^{e_{p}} {}^{a}h_{i}(\xi,\eta) {}^{e}y_{i}$$
Identification

-128-

Prof. Th. Gmür Méthode des éléments finis Décembre 2018

terme à terme





 $\equiv \alpha + \beta x$ 







L mar

Critère de complétude (suite)

$$eu^{h}(x, y) = \sum_{i=1}^{e_{p}} {}^{a}h_{i}(\xi, \eta) (eq_{i}) = \alpha + \beta x + \gamma y$$

$$\Rightarrow eu^{h}(ex_{i}, ey_{i}) \equiv (eq_{i}) = \alpha + \beta ex_{i} + \gamma ey_{i}$$

$$(i = 1, 2, ..., e_{p})$$

$$\Rightarrow^{e} u^{h}(x, y) = \alpha \sum_{i=1}^{e_{p}} {}^{a} h_{i}(\xi, \eta) + \beta \sum_{i=1}^{e_{p}} {}^{a} h_{i}(\xi, \eta) {}^{e} x_{i}$$

$$+ \sqrt{\sum_{i=1}^{e_{p}} {}^{a} h_{i}(\xi, \eta) {}^{e} y_{i}}$$
entification

Identification terme à terme

$$\equiv \alpha + \beta x + \gamma y$$

-129-













Conditions nécessaires de complétude

$$\sum_{i=1}^{e_p} {}^a h_i(\xi, \eta) = 1$$



Critère de continuité restreinte

$$\sum_{i=1}^{e_p} a_{h_i}(\xi, \eta) e_{x_i} = x \equiv \sum_{i=1}^{e_p} b_{h_i}(\xi, \eta) e_{x_i}$$

$$\sum_{i=1}^{e_p} a_{h_i}(\xi, \eta) e_{y_i} = y \equiv \sum_{i=1}^{e_p} b_{h_i}(\xi, \eta) e_{x_i}$$
Transformation de coordonnées



de coordonnées



Conditions vérifiées si  $\Omega = a\Omega$ Complétude à vérifier (patch test) si  ${}^g\Omega \neq {}^a\Omega$ 





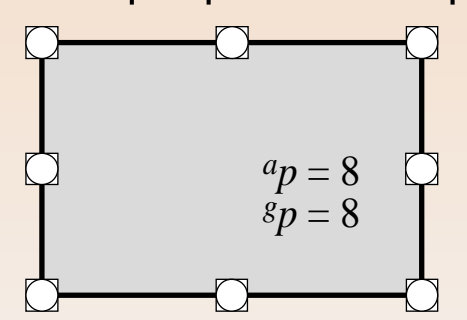
-130-

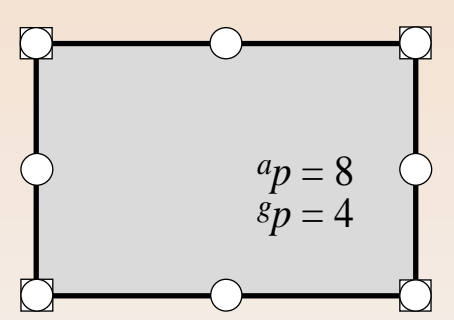


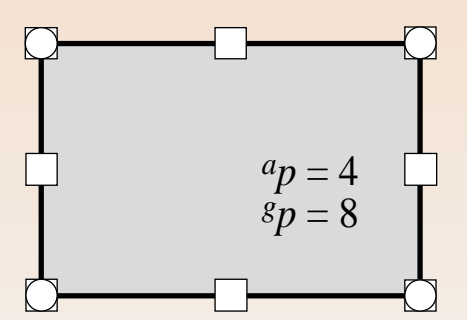




 Notion d'éléments finis isoparamétrique, sous-paramétrique et superparamétrique







- O point de spécification de la fonction cherchée
- point de spécification des coordonnées

Élément isoparamétrique

Géométrie de même ordre que la solution

Élément sousparamétrique

Géométrie d'un ordre inférieur à celui de la solution

-131-

Élément superparamétrique

Géométrie d'un ordre supérieur à celui de la solution

Prof. Th. Gmür Méthode des éléments finis Décembre 2018





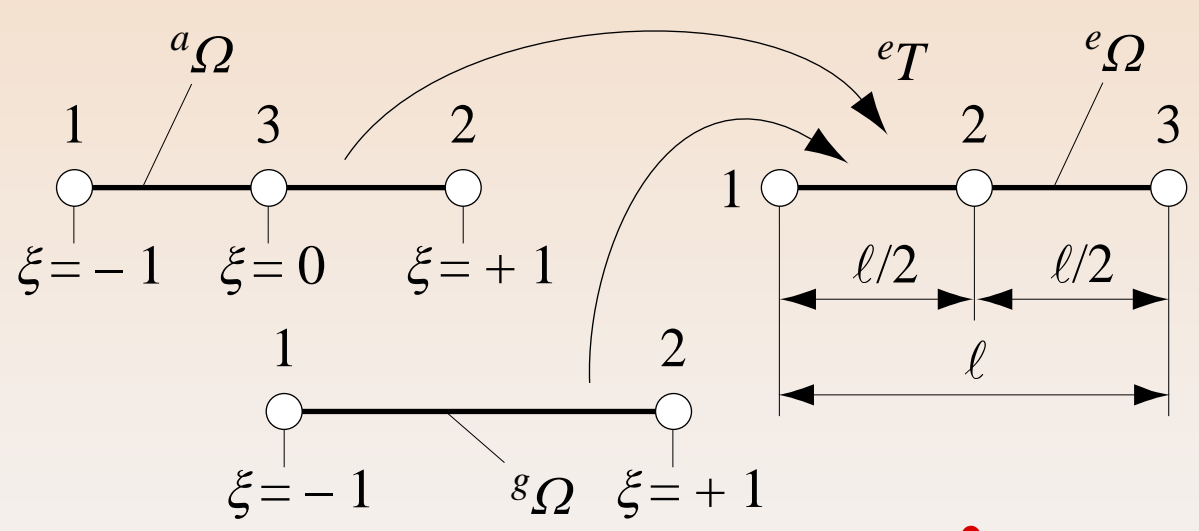






L maf

Exemple d'un élément fini sous-paramétrique bien connu



-132-

$${}^{e}T: x = \sum_{i=1}^{3} {}^{a}h_{i}(\xi) {}^{e}x_{i}$$



Transformation linéaire

$$= \ell(1-\xi^2)/2 + \ell\xi(\xi+1)/2 = \ell(1+\xi)/2$$

Prof. Th. Gmür Méthode des éléments finis Décembre 2018











• Estimation  $H^1$  de l'écart entre la restriction  ${}^eu$  et son interpolation nodale  ${}^eu_I$ 

$$\|e_{U}-e_{U_{I}}\|_{1,e_{\Omega}}^{2} \leq \|e_{T^{-1}}\|_{1}^{2} \max_{e_{\Omega}}(e_{j})\|a_{U}-a_{U_{I}}\|_{1,a_{\Omega}}^{2}$$

• Norme  $H^{k+1}$  de la restriction  ${}^eu$  transformée par les coordonnées naturelles

$$\| a_{u} \|_{k+1, a_{\Omega}}^{2} \leq \| e_{T} \|_{k+1}^{2} \frac{1}{\min_{e_{\Omega}}(e_{j})} \| e_{u} \|_{k+1, e_{\Omega}}^{2}$$



Influence de la transformation de coordonnées

-133-











 Estimation asymptotique locale de l'erreur pour un élément fini père

$$\|au - au_I\|_{1, a\Omega} \le \|aC_1\|_{k+1, a\Omega}$$
  $(eh \to 0)$ 

<sup>e</sup>h diamètre de l'élément fini

k degré de l'interpolation

 $^{a}C_{1}$  facteur de convergence



Restranscription de l'estimation asymptotique de l'erreur pour un élément fini régulier  $(e \rightarrow a)$ 

-134-







• Caractérisation de l'estimation  $H^1$  de l'écart entre la restriction  $^eu$  et son interpolation nodale  $^eu_I$ 

$$\|e^{u} - e^{u}_{I}\|_{1, e_{\Omega}} \le \|e^{u}_{I}\|_{1, e_{\Omega}} \le \|e^{u}_{I}\|_{1, e_{\Omega}} = (e^{i}_{I})^{1/2} \|a^{u} - a^{u}_{I}\|_{1, e_{\Omega}}$$



Identification terme

$$\leq \| T^{-1}\|_{1} \left[ \max_{e_{\Omega}} (^{i}j) \right]^{1/2} \| u^{-1}u_{1}\|_{1} \| u$$

• Forme standard de l'estimation  $H^1$  de l'écart entre  $^eu$  et  $^eu_I$ 

$$\|e^{u} - e^{u}\|_{1, e_{\Omega}} \le (e^{c}C_{1})^{k} \|e^{u}\|_{k+1, e_{\Omega}} \qquad (e^{h} \to 0)$$

-135-











Lien entre les facteurs de convergence

$${}^{e}C_{1} \leq {}^{a}C_{1} \left(\frac{\max(^{e}j)}{\min(^{e}j)}\right)^{1/2} \|{}^{e}T\|_{k+1} \|{}^{e}T^{-1}\|_{1}$$

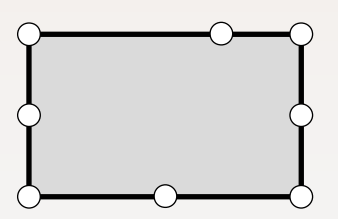
$$\text{Dégradation de la précision si} \left(\frac{\max(^{e}j)}{\min(^{e}j)}\right)_{e_{\Omega}} \text{croît}$$

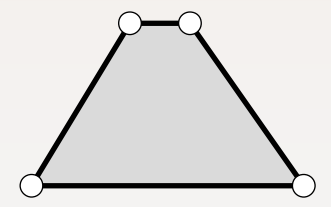


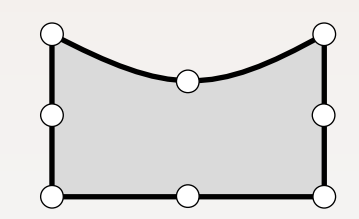
$$\left(rac{\max(^e j)}{\min(^e j)}
ight)_{^e\Omega}$$
 croît

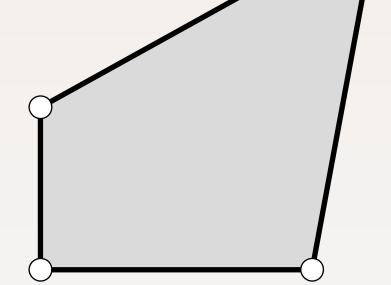
⇒ Forme de l'élément aussi régulière que possible

Exemples d'éléments entraînant une dégradation de la précision















-136-



• Estimation  $H^1$  de l'erreur globale  $e^h$ 

$$\|e^h\|_{1,\Omega} = \|u - u^h\|_{1,\Omega} \le C_1 h^k \qquad (h \to 0)$$

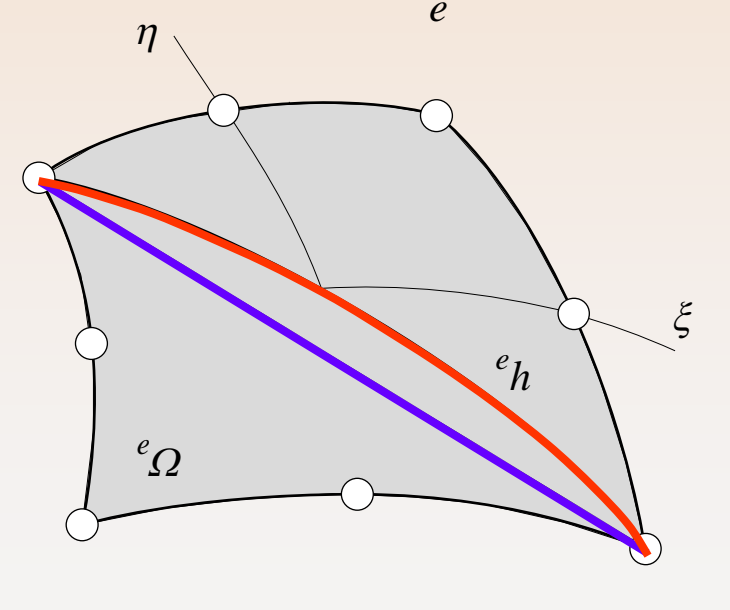
h longueur caractéristique du réseau ( $h = \max^e h$ )

k degré de l'interpolation

 $C_1$  facteur de convergence



Longueur <sup>e</sup>h mesurée selon le système local de coordonnées







-137-



# Résolution du problème-modèle par un logiciel d'éléments finis



- Application du logiciel Matlab<sup>®</sup> au transfert-chaleur par conduction dans un milieu bidimensionnel (domaine géométrique complexe)
- Application d'un logiciel d'éléments finis commercial (Abaqus<sup>®)</sup>) au calcul du comportement mécanique d'une structure (domaine tridimensionnel et variable d'état vectorielle)







-138-



